

کلیدواژه‌ها: ارزیابی سلامت آبخیز، تحلیل زمانی، خشک‌سالی، مدیریت حوزه‌های آبخیز

## مقدمه

ارزیابی جامع حوزه‌های آبخیز از برنامه‌های غیرقابل انکار به منظور تحلیل پایداری و سلامت سامانه‌های آبی محسوب می‌شود. نظرات آبخیز به‌عنوان یک سامانه یکپارچه، یکی از عوامل کلیدی در توسعه و پیشرفت یک برنامه جامع و به مسائل زمینی و ساختارهای طبیعی و منابع آب وابسته است [۱۷، ۱۹]. آگاهی از سلامت حوزه‌های آبخیز، از مهم‌ترین و اساسی‌ترین بخش‌ها در مدیریت پایدار حوزه آبخیز است. ارزیابی سلامت آبخیز فرآیند و ابزار علمی و عملی برای تعیین شرایط یک آبخیز نسبت به شرایط یا وضعیت بهینه مطرح شده است [۴، ۸]. سلامت حوزه آبخیز را می‌توان، به‌عنوان یک معیار (سنجه) نسبی از انحراف فرآیندهای آبخیز نسبت به شرایط مرجع (حالت طبیعی بدون دخالت انسان یا با دخالت بسیار کم) تعریف کرد و آن را از طریق اندازه‌گیری و پایش متغیرها و شاخص‌های گوناگون ارزیابی نمود [۳۶]. سلامت آبخیز یک اصطلاح گسترده و مشتمل بر منابع آبی، کیفیت بوم‌شناختی از جمله جوامع گیاهی و جانوری، گیاهان بومی، فرآیندهای بارش-رواناب، ویژگی‌های زمین‌ریخت‌شناسی و منابع آبی است [۱۵]. مفهوم سلامت آبخیز برای اولین بار توسط راپورت و همکاران در سال ۱۹۷۹ مطرح شد [۱۱]. از آنجایی که تخریب منابع آبخیز پیامدهای اقتصادی و اجتماعی زیان‌باری به همراه دارد، در دهه‌های اخیر یک گرایش عمومی نسبت به ارزیابی شرایط نسبی یا سلامت آبخیز در مقیاس‌های ملی و محلی دیده می‌شود [۵، ۱۱، ۲۳]. عدم وجود یک سامانه مدیریتی کارآمد و سازوکارهای مناسب در بروز خشک‌سالی‌ها بیش از گذشته، سلامت آبخیزها را متأثر ساخته و سبب بروز اختلالات چشم‌گیری در ارائه خدمات حوزه آبخیز شده است [۲، ۳۳]. پدیده خشک‌سالی به دلیل تغییرات مکانی، زمانی و منطقه‌ای بودن، پیچیده و از طرفی شناسایی اثر تجمعی، شروع و پایان این رخداد با توجه به شدت‌های مختلف، دشوار است [۳۱].

به‌منظور ارزیابی سلامت آبخیز، معیارها و شاخص‌های کلیدی پرشماری از جمله عوامل انسانی، اقلیمی، هیدرولوژی، زمین‌شناسی، خاکی و پوشش گیاهی معرفی و توسعه داده شده است که هر یک

## تأثیر پذیری شاخص سلامت آبخیز مبتنی بر شاخص SPI از طول دوره آماری

سید حمیدرضا صادقی<sup>۱</sup>، مهین کله‌هونی<sup>۲</sup>، رضا چمنی<sup>۳</sup> و خدیجه حاجی<sup>۴</sup>

تاریخ دریافت: ۱۴۰۱/۰۶/۰۶ تاریخ پذیرش: ۱۴۰۱/۱۰/۲۰

## چکیده

رفتارسنجی سلامت حوزه آبخیز، دیدگاه جامعی از عوامل مؤثر در وضعیت حوزه آبخیز را فراهم می‌کند. پژوهش حاضر، تأثیر طول دوره آماری بر تغییرات شاخص سلامت آبخیز مبتنی بر شاخص خشک‌سالی (SPI) در دوره آماری سال‌های ۱۳۹۹-۱۳۴۰ در ایستگاه‌های صحنه، کرمانشاه و هرسین در استان کرمانشاه با استفاده از چارچوب  $R_{et}R_{es}V_{in}$  ارزیابی شده است. به همین منظور شاخص‌های پایایی ( $R_{et}$ )، تاب‌آوری ( $R_{es}$ )، آسیب‌پذیری ( $V_{in}$ ) و متوسط سلامت آبخیز ( $R_{et}R_{es}V_{in}$ ) در بازه‌های زمانی متفاوت در مدل  $R_{et}R_{es}V_{in}$  محاسبه شد. مطابق نتایج، در دوره‌های زمانی ۱۳۵۹-۱۳۴۰، ۱۳۷۹-۱۳۶۰ و ۱۳۹۹-۱۳۸۰ شاخص‌های سلامت آبخیز مقادیر متفاوتی داشته است. به طوری که با افزایش دوره آماری، شاخص‌های سلامت تغییرات متفاوتی داشته و در دوره‌های کوتاه‌مدت تغییرات شاخص‌ها نسبت به کل دوره بیش‌تر بوده است. بیش‌ترین میزان تغییرات در ۳۰ سال ابتدایی دوره آماری مشاهده و با افزایش طول دوره آماری تا انتهای دوره، میزان تغییرات این شاخص‌ها کم شد. بر این اساس ۳۰ سال انتهایی دوره آماری، از نتایج مطلوب و قابل اعتمادی برای محاسبه شاخص‌های سلامت فعلی برخوردار است. از این رو با توجه به حجم زیاد محاسبات و هم‌چنین فقدان داده‌های اقلیمی و کاهش ایستگاه‌ها، استفاده از طول دوره آماری ۳۰ ساله منتهی به مقطع زمانی مورد مطالعه برای بررسی سلامت آبخیز پیشنهاد می‌شود.

۱- استاد گروه مهندسی آبخیزداری دانشکده منابع طبیعی، دانشگاه تربیت مدرس و نویسنده مسئول: Email: sadeghi@modares.ac.ir

۲- دانش‌آموخته گروه مهندسی آبخیزداری دانشکده منابع طبیعی، دانشگاه تربیت مدرس.

۳- دانشجوی دکتری گروه مهندسی آبخیزداری دانشکده منابع طبیعی، دانشگاه تربیت مدرس.

۴- دانشجوی دکتری گروه مهندسی آبخیزداری دانشکده منابع طبیعی، دانشگاه تربیت مدرس.

به‌نوعی و متناسب با شرایط نمایانگر وضعیت کنونی سلامت آبخیز است. استفاده از هرکدام از این معیارها به‌تنهایی نمی‌تواند گویای وضعیت سلامت بوم‌سازگان مورد مطالعه باشد، بر همین اساس ترکیبی از این معیارها مدنظر قرار گرفته است؛ اما نحوه ترکیب و تلفیق این معیارها و شاخص‌ها بسته به شرایط مطالعاتی متفاوت است و یکی از چالش‌های اساسی در حوزه ارزیابی سلامت منابع آب‌و‌خاک و نهایتاً بوم‌سازگان‌ها محسوب می‌شود. مدل‌های مفهومی مختلفی برای تبیین این معیارها و شاخص‌ها در قالب یک چارچوب مشخص [۳]، به‌ویژه برای ارزیابی خشک‌سالی در حوزه‌های آبخیز ارائه شده است [۹]. در این بین، مدل مفهومی پایایی<sup>۱</sup> ( $R_{el}$ )، تاب‌آوری<sup>۲</sup> ( $R_{es}$ ) و آسیب‌پذیری<sup>۳</sup> ( $V_{ul}$ ) از جمله مدل‌هایی است که امروزه در زمینه ارزیابی سلامت آبخیز مورد توجه قرار گرفته است [۲۴]. سرواژه مفهومی پایایی، منعکس‌کننده احتمال قرارگیری آبخیز در وضعیت ایمن یا وضعیت مورد قبول از نظر سلامت آن از نظر معیار مورد بررسی، گفته می‌شود. توان یک سامانه آبخیز در پاسخ به فشارهای طبیعی و انسانی مثل تغییر اقلیم، آتش‌سوزی، چرا و .. در مدت‌زمان کوتاه یا طولانی مدت تاب‌آوری آبخیز اطلاق می‌شود. هم‌چنین، مفهوم آسیب‌پذیری درجه‌ای است که یک سامانه آبخیز، زیرسامانه یا اجزای آن بر اثر قرار گرفتن در برابر عامل‌های محرک دچار خسارت می‌شوند [۲۴]. در ابتدا چارچوب  $R_{el}R_{es}V_{ul}$  به‌وسیله هاشیموتو و همکاران [۷] برای توصیف عملکرد یک سامانه مخزن چندمنظوره مطرح شده است. در این روش، قابلیت اطمینان تکرار یا احتمال وجود حوزه آبخیز در حالت رضایت‌بخش در کل دوره ارزیابی را اندازه‌گیری می‌کند [۳۵].

ارزیابی شاخص‌های جامع  $R_{el}R_{es}V_{ul}$  در بلندمدت، درک عمیقی در مورد عملکرد حوزه آبخیز در شرایط متغیر آب‌وهوایی را فراهم می‌کند [۲۵]. طول دوره آماری و تعداد ایستگاه‌ها نیز نقش مهمی در تعیین شاخص سلامت آبخیز ایفا می‌کنند. بر این اساس مطالعه و ارزیابی تغییرات زمانی و نیز تشخیص اثر دوره‌های آماری مورد مطالعه و تعداد ایستگاه‌ها بر شاخص سلامت آبخیز ضروری به نظر می‌رسد. با وجود این، تاکنون رویکردهای مختلفی برای ارزیابی سلامت آبخیز مورد استفاده قرار گرفته که غالب این رویکردها شاخص محور بوده و به دو صورت کیفی و کمی مورد استفاده قرار گرفته است [۱۱]. مطالعات فراوانی به ارزیابی خشک‌سالی با استفاده از شاخص  $SPI^4$  پرداخته است که خشک‌سالی را در مناطق مختلف طبقه‌بندی کرده‌اند [۱۳، ۱۶، ۱۸]. اما مطالعات اندکی به ارزیابی توأم خشک‌سالی با شاخص‌های  $R_{el}$ ،  $R_{es}$  و  $V_{ul}$  در طول دوره آماری انجام شده است. در این راستا، آهان و کیم [۱] در پژوهشی به ارزیابی سلامت آبخیز برای ارزیابی حفاظت و تعیین

اولویت‌ها در رودخانه هان<sup>۵</sup> در کره جنوبی پرداختند. نتایج نشان داد که سلامت زیرآبخیزها طی دوره ۲۰۰۵ تا ۲۰۱۴ کاهش یافته است. هم‌چنین، صادقی و حزباوی [۲۵] تغییرات مکانی و زمانی شاخص‌های  $R_{el}R_{es}V_{ul}$  مبتنی بر خشک‌سالی در حوزه آبخیز شازند برای سال‌های ۱۹۸۶، ۱۹۹۸ و ۲۰۰۸ را مورد ارزیابی قرار دادند. نتایج پژوهش انجام شده با استفاده از شاخص‌های  $R_{el}R_{es}V_{ul}$  امکان استفاده از این شاخص‌ها در زمینه‌های مختلف از جمله خشک‌سالی را تأیید می‌کنند. در پژوهشی تغییرپذیری شاخص سلامت آبخیز بر اساس مدل  $R_{el}R_{es}V_{ul}$  در سه حوزه آبخیز زاراما<sup>۶</sup>، فویل<sup>۷</sup> و شازند به ترتیب واقع در ایرلند شمالی (معتدل مرطوب)، پرتغال (مدیترانه‌ای) و ایران (خشک و نیمه‌خشک) طی دوره زمانی ۱۹۸۱ تا ۲۰۱۲ توسط حزباوی و همکاران [۹، ۱۰] مورد بررسی قرار گرفت. در این مطالعات معیارهای متفاوتی از جمله SPI، دبی مشخصه کم‌آبی و پرابی، غلظت رسوب، نیتروژن و فسفر برای ارزیابی سلامت آبخیز به‌کاربرده شد. نتایج رفتار متفاوت آبخیزهای مطالعاتی از لحاظ معیارهای مورد بررسی و نیز شاخص‌های ارزیابی خطر سلامت آبخیز را تأیید کردند. هم‌چنین مشخص شد که مقدار شاخص جامع سلامت در سه آبخیز زاراما، فویل و شازند به ترتیب در وضعیت‌های متوسط، متوسط و نسبتاً ناسالم قرار گرفته است. هم‌چنین، حزباوی و همکاران [۱۲] پویایی سلامت آبخیز صنعتی شازند را بر اساس معیار فرسایش خاک با استفاده از مدل  $R_{el}R_{es}V_{ul}$  برای چهار سال ۱۳۶۵، ۱۳۷۷، ۱۳۸۷ و ۱۳۹۳ ارزیابی نمودند. نتایج حاکی از عدم وجود روند مشخص از شاخص سلامت آبخیز مبتنی بر فرسایش در کل دوره مورد مطالعه بوده است. به‌طوری‌که در دوره‌های ۱۳۷۷-۱۳۶۵، ۱۳۸۷-۱۳۶۵، ۱۳۹۳-۱۳۸۷، سلامت آبخیز به ترتیب به میزان ۲۳، ۱۳ و شش درصد کاهش یافته است. ژانگ و همکاران [۳۷] نیز به ارزیابی وضعیت سلامت چرخه آب بر اساس مدل ابری<sup>۸</sup> در چین پرداختند. در این پژوهش چهار ویژگی اکولوژی، کیفیت، کمیت و مصرف آب مورد بررسی قرار گرفت. بر اساس داده‌های آماری ۲۰۰۰ تا ۲۰۱۴ میانگین توزیع درجه سلامت چرخه آب در طبقه‌های ناسالم، نسبتاً ناسالم، متوسط، نسبتاً سالم و سالم به ترتیب برابر با ۲۸، ۱۶، ۳۴، ۱۳ و نه درصد بوده است. هم‌چنین نتایج نشان داد که محدوده مورد بررسی به‌طور کلی در وضعیتی ناسالم قرار داشته که در آن ویژگی کمیت آب بدترین وضعیت و ویژگی استفاده از آب بهترین وضعیت را به خود اختصاص داده است. اخیراً، چمنی و همکاران [۲] سلامت حوزه آبخیز چالوس بر اساس مدل  $R_{el}R_{es}V_{ul}$  تحت تأثیر خشک‌سالی در طول دوره آماری سال‌های ۱۳۶۵ تا ۱۳۹۴ را مورد ارزیابی قرار دادند. سپس، با تعیین میانگین و انحراف معیار داده‌ها، شاخص خشک‌سالی (SPI) را تعیین کردند. ارزیابی سلامت آبخیز نیز نشان داد که شاخص‌های  $R_{el}$ ،  $R_{es}$  و  $V_{ul}$  به ترتیب برابر

5. Han
6. Xarrama
7. Foyle
8. Cloud Model

1. Reliability
2. Resilience
3. Vulnerability
4. Standardized Precipitation Index (SPI)

۰/۵، ۰/۲۳ تا ۰/۶۲ و ۰/۰۶ تا یک بودند. در مجموع متوسط شاخص سلامت حوزه آبخیز چالوس بر اساس پویایی شاخص خشک‌سالی ۰/۴۵ و در وضعیت متوسط قرار گرفت.

با بررسی مستندات، به منظور دقت و صحت بیشتر و نیز اعتماد به نتایج پژوهش، معمولاً سعی می‌شود که طول دوره آماری مناسب بر اساس داده‌های موجود و تعداد ایستگاه‌های مناسب انتخاب شود. حال آن‌که تاکنون این موضوع در مطالعات انجام‌شده مدنظر نبوده است. بر این اساس انجام مطالعات تکمیلی در خصوص بررسی تغییرات زمانی شاخص سلامت آبخیز در استان کرمانشاه با طول دوره آماری و همچنین ایستگاه‌های مناسب برای دستیابی به نتایج با قابلیت اعتماد بیشتر در دستور کار قرار گرفت. لذا، در این پژوهش سعی شده است با کمی کردن شاخص‌های  $R_{cl}R_{es}V_{ul}$  درک صحیح و قابل قبولی از میزان پایایی، تاب‌آوری و آسیب‌پذیری در ارتباط با خشک‌سالی ارائه شود. به همین تقدیر، پژوهش حاضر باهدف تأثیرگذاری طول دوره آماری بر تغییرات شاخص‌های سلامت آبخیز مبتنی بر شاخص خشک‌سالی (SPI) در دوره آماری ۱۳۴۰ تا ۱۳۹۹ در ایستگاه‌های صحنه، کرمانشاه و هرسین در استان کرمانشاه با استفاده از روش  $R_{cl}R_{es}V_{ul}$  برنامه‌ریزی شده است.

## مواد و روش‌ها

### منطقه مورد مطالعه

پژوهش حاضر، در سه شهرستان، صحنه، کرمانشاه و هرسین واقع

در استان کرمانشاه با مساحت ۸۳۴۰ کیلومتر مربع انجام شده است. استان کرمانشاه با ارتفاع متوسط ۱۲۰۰ متر از سطح دریا یکی از ۳۱ استان کشور با دارا بودن وسعت ۱/۵ درصد از مساحت، در غرب ایران واقع شده است. میانگین بارندگی در مناطق مختلف از حدود ۳۰۰ میلی‌متر در جنوب غربی سومار و نفت‌شهر تا حدود ۸۰۰ میلی‌متر و بیشتر در ارتفاعات متغیر است [۲۸، ۳۷]. در استان کرمانشاه، اساساً می‌توان سال را به دو فصل اصلی گرم و سرد یعنی تابستان و زمستان تقسیم نمود، بلکه فصل‌های بهار و پاییز بسیار کوتاه و زودگذر می‌باشند [۳۸]. شکل (۱)، نمایی از موقعیت استان کرمانشاه را نشان می‌دهد.

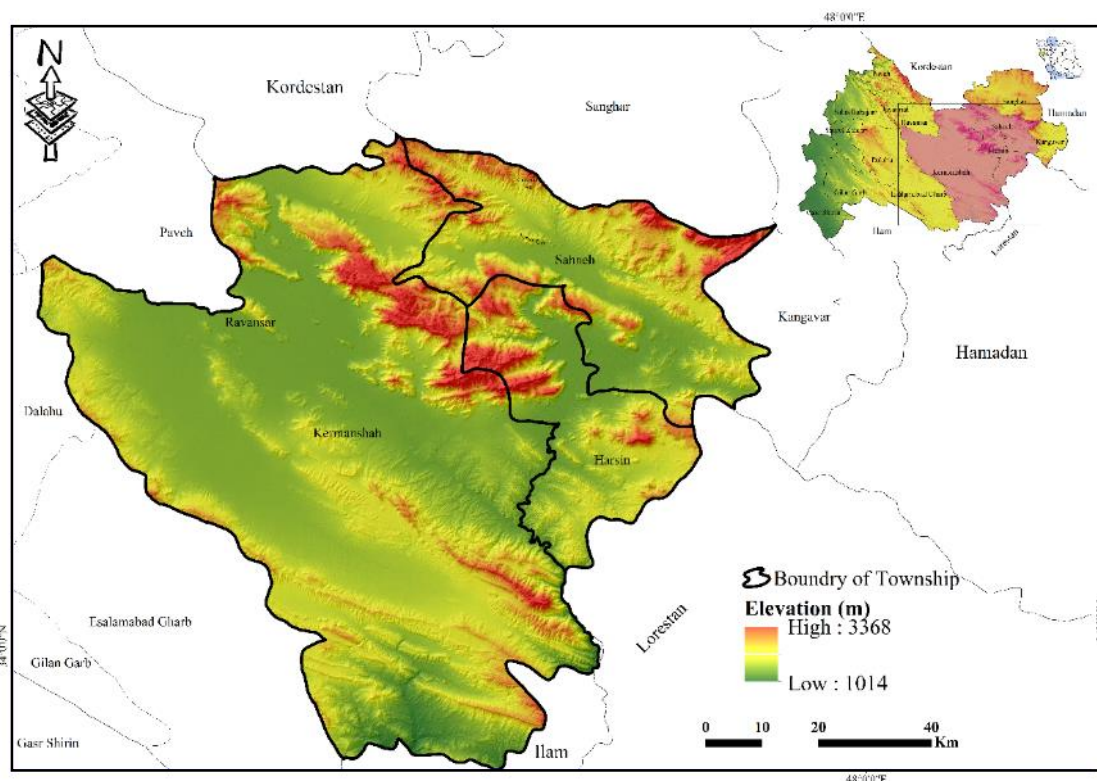
### روش پژوهش

#### جمع‌آوری داده‌های مورد نیاز

داده‌های بارش ماهانه ایستگاه‌های صحنه، کرمانشاه و هرسین در استان کرمانشاه در دوره آماری سال‌های ۱۳۴۰ تا ۱۳۹۹ از اداره کل هواشناسی استان کرمانشاه دریافت و سپس توزیع نرمال داده‌های بررسی شد.

#### طول دوره آماری

برای ارزیابی تأثیر دوره آماری بر شاخص‌های سلامت آبخیز، دوره‌های آماری مختلف شامل ۱۳۴۰-۱۳۵۹، ۱۳۶۰-۱۳۷۹ و ۱۳۸۰-۱۳۹۹ مورد استفاده قرار گرفت. همچنین برای ارزیابی طول دوره آماری بر وضعیت سلامت آبخیز، در ابتدا بازه زمانی ۱۳۸۸-



شکل ۱- نمایی از منطقه مورد مطالعه در استان کرمانشاه و ایران

Fig 1. The location of the studied area in Kermanshah Province and Iran

۱۳۹۹ در نظر گرفته شد و سپس در هر مرحله ۱۰ سال به طول دوره آماری اضافه شد.

### کاربست شاخص SPI

شاخص ارزیابی خشکسالی در دانشگاه کلرادو برای پایش و تعیین خشکسالی‌ها توسط مک‌کی و همکاران ارائه شد [۲۰]. بر شاخص SPI ماهانه با استفاده از نرم‌افزار SPI Generator محاسبه شده است. بارندگی، تنها عامل مؤثر در محاسبه این شاخص است. بنابراین می‌توان از آن برای تعریف و مقایسه شرایط خشکسالی در مناطق مختلف استفاده کرد. این شاخص تخمین مناسب و قابل‌اعتمادی از میزان، شدت و تغییرات مکانی خشکسالی‌ها ارائه می‌دهد. چنانچه بارش بیش‌تر از میانگین بلندمدت باشد، SPI مثبت و اگر بارش کم‌تر از آن باشد، SPI منفی است. برخلاف سایر شاخص‌های خشکسالی، استفاده از SPI از دشواری کم‌تری برخوردار است، زیرا فقط به یک سری داده ورودی واحد از بارش طولانی‌مدت نیاز دارد [۲۹]. این شاخص با استفاده از نرم‌افزار SPI Generator و بارش مشاهده‌ای ( $X_i$ )، میانگین بارش ( $\bar{X}$ ) و انحراف معیار ( $\sigma$ ) دوره بارندگی و برازش بر تابع گاما محاسبه شد [۳۴].

سپس، به منظور محاسبه شاخص‌های  $R_{el}R_{es}V_{ul}$  از تجزیه و تحلیل تغییرات مکانی ماهانه SPI مطابق روابط (۱) تا (۳) استفاده شده است. در این روابط  $d[j]$  تعداد وقایع شکست (تعداد ماه‌های با SPI زیر آستانه)،  $M$  مدت زمان رویداد شکست  $j$ th،  $T$  تعداد کل فواصل زمانی،  $Lobs(i)$  مقدار مشاهده شده،  $Lstd(i)$  مقدار حد آستانه و  $[H]$  عملکرد تابع پله‌ای Heaviside است. این تابع برای جلوگیری از ورود حوادث شکست در محاسبه آسیب‌پذیری مورد استفاده قرار می‌گیرد. مقدار کل  $[H]$  در رابطه مزبور برای مقادیر منفی، صفر و مثبت به ترتیب صفر، یک و ۰/۵ در نظر گرفته می‌شود. همچنین، نرمال‌سازی داده‌ها برای حذف اثرات بزرگی و ایجاد قابلیت مقایسه داده‌ها با یکدیگر صورت گرفت. پس از محاسبه SPI هر ایستگاه، اقدام به نرمال‌سازی آن‌ها شد. برای این منظور از رابطه (۴) استفاده شد [۶].

$$Reliability(R_{el}) = 1 - \frac{\sum_{j=1}^M d[j]}{T} \quad (1)$$

$$Resilience(R_{es}) = \left\{ \frac{1}{M} \sum_{j=1}^M d[j] \right\}^{-1} \quad (2)$$

$$Vulnerability(v_{ul}) = \frac{1}{M} \sum_{j=1}^T \left\{ \left[ \frac{L_{obs}(i) - L_{std}(i)}{L_{max}(i) - L_{std}(i)} \right] H[L_{obs} - L_{std}(i)] \right\} \quad (3)$$

$$Y = \frac{X_i - X_{min}}{X_{max} - X_{min}} \quad (4)$$

به منظور نشان دادن وضعیت کلی سلامت حوزه آبخیز از شاخص‌های سلامت، میانگین گرفته شد، به نحوی که میزان اثر هر کدام از شاخص‌ها در سلامت حوزه آبخیز دخالت داده شده بتواند نمایی کلی از سلامت آبخیز را نشان دهد. برای تعیین این شاخص نیاز به تعیین وزن و تجمیع عملکرد شاخص‌هاست [۲۶]. لذا، برای محاسبه  $R_{el}R_{es}V_{ul}$  نهایی از سه شاخص پایایی، تاب‌آوری و آسیب‌پذیری با توجه به ضرورت لحاظ حساسیت بیش‌تر نسبت به تغییرات متغیرهای جداگانه بر اساس رابطه (۵) میانگین هندسی  $(R_{el}R_{es}V_{ul})$  گرفته شد [۳۲].

$$(R_{el}R_{es}V_{ul}) = \left[ \prod_{i=1}^3 R_{el} \cdot R_{es} \cdot V_{ul} \right]^{1/3} \quad (5)$$

### نتایج

#### توزیع بارندگی و شاخص SPI

در جدول ۱ متوسط بارش سالانه، حداکثر بارش ماهانه و تعداد ماه‌های بدون بارش در طول دوره آماری ۱۳۹۹-۱۳۴۰ در ایستگاه‌های صحنه، کرمانشاه و هرسین ارائه شده است. همان‌طور که مشاهده می‌شود ایستگاه صحنه بیش‌ترین بارش سالانه، کرمانشاه بیش‌ترین بارش ماهانه و کم‌ترین ماه بدون بارش را به خود اختصاص داده‌اند. شدت خشکسالی و ترسالی نیز برای دوره‌های ۱۳۵۹-۱۳۴۰، ۱۳۷۹-۱۳۶۰ و ۱۳۹۹-۱۳۸۰ به ترتیب در شکل‌های ۲ تا ۴ نشان داده شده است. بر این اساس در دوره ۱۳۵۹-۱۳۴۰ بیش‌ترین ترسالی و خشکسالی در سال‌های ۱۳۴۷ و ۱۳۴۹ به ۳/۲۷ و ۲/۳۹-، دوره ۱۳۷۹-۱۳۶۰ در سال‌های ۱۳۷۸ و ۱۳۷۵ به مقدار ۲/۷۸ و ۴/۰۷- و دوره ۱۳۹۹-۱۳۸۰ در سال‌های ۱۳۹۳ و ۱۳۹۴ به مقدار ۲/۸۵ و ۳/۴۴- رخ داده است. به لحاظ ایستگاه نیز در دوره ۱۳۵۹-۱۳۴۰ ایستگاه هرسین بیش‌ترین شدت ترسالی و خشکسالی، در دوره ۱۳۷۹-۱۳۶۰ ایستگاه کرمانشاه بیش‌ترین

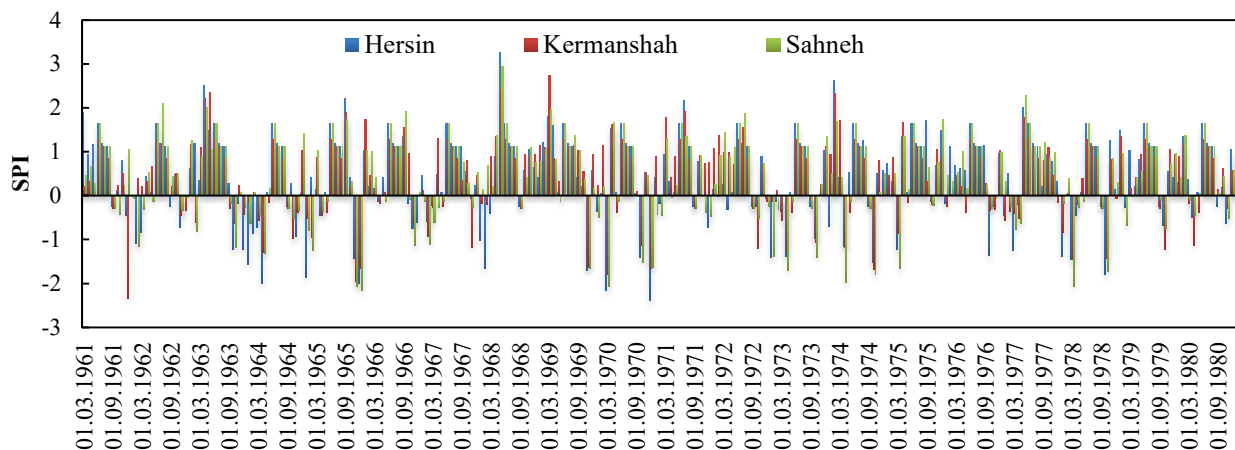
جدول ۱- وضعیت بارندگی در ایستگاه‌های منتخب طی ۱۳۴۰ تا ۱۳۹۹ در استان کرمانشاه

Table 1. Precipitation situation in selected stations during 1961 and 2021 in Kermanshah Province, Iran

متغیر / ایستگاه	صحنه	کرمانشاه	هرسین
Variable/ Station	Sahneh	Kermanshah	Harsin
متوسط بارندگی سالانه (میلی‌متر) The mean annual precipitation (mm)	489.7	452.7	400.8
حداکثر بارش ماهانه (میلی‌متر) The maximum monthly precipitation (mm)	271.1	272.0	260.6
تعداد ماه‌های بدون بارش Number of months without precipitation	219	199	211

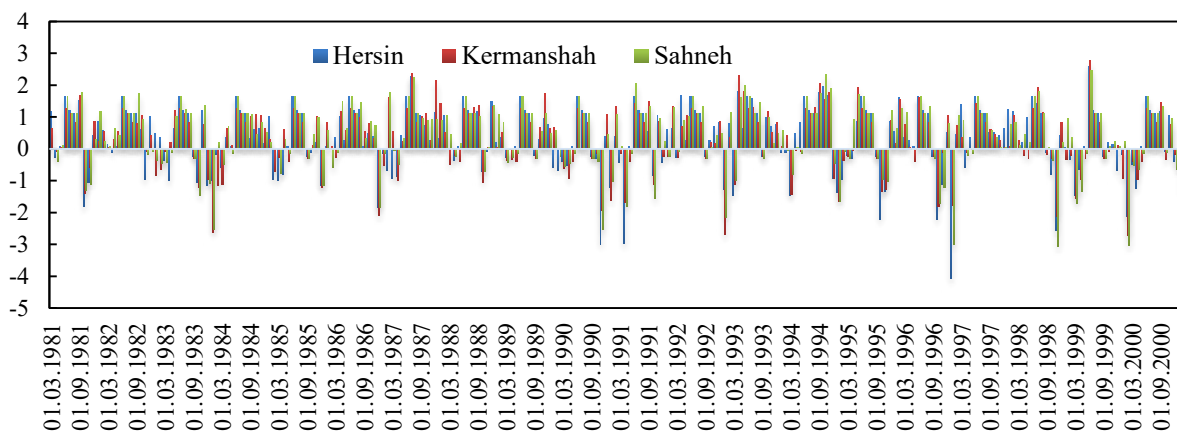
شدت خشک‌سالی و ایستگاه هر سین بیش‌ترین شدت خشک‌سالی و در دوره ۱۳۸۰-۱۳۹۹ (c) و ۱۳۶۰-۱۳۷۹ (b)، ۱۳۴۰-۱۳۵۹ (a) در شکل ۵ ارائه شده است.

شدت ترسالی و ایستگاه هر سین بیش‌ترین شدت ترسالی و در دوره ۱۳۸۰-۱۳۹۹ ایستگاه صحنه بیش‌ترین شدت ترسالی و ایستگاه کرمانشاه بیش‌ترین شدت خشک‌سالی را داشته است. توزیع



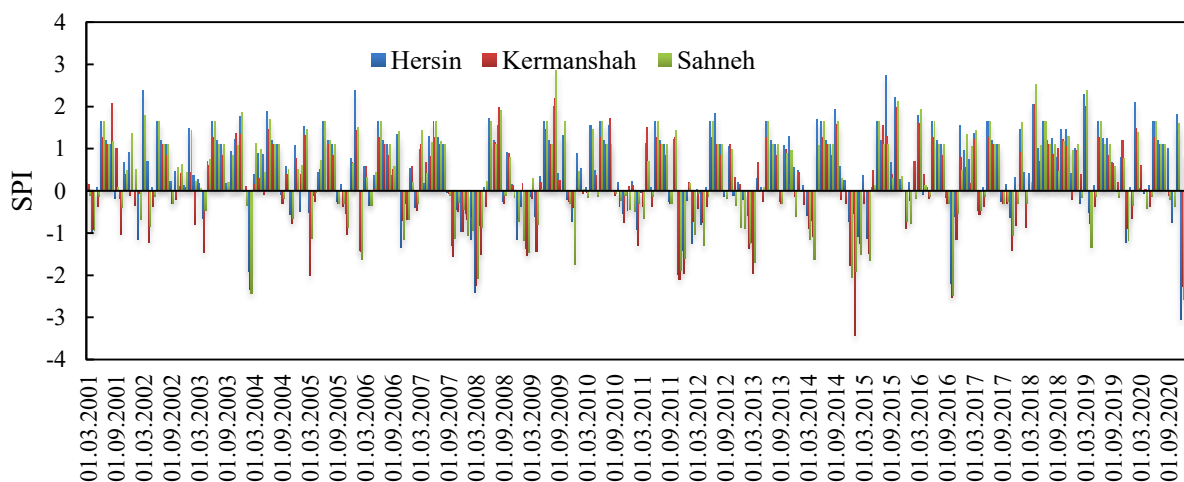
شکل ۲- مقادیر شاخص خشک‌سالی SPI ماهانه در دوره ۱۳۴۰-۱۳۵۹ در استان کرمانشاه

Fig 2. Monthly SPI drought index values in the period of 1961-1980 in Kermanshah Province, Iran



شکل ۳- مقادیر شاخص خشک‌سالی SPI ماهانه در دوره ۱۳۶۰-۱۳۷۹ در استان کرمانشاه

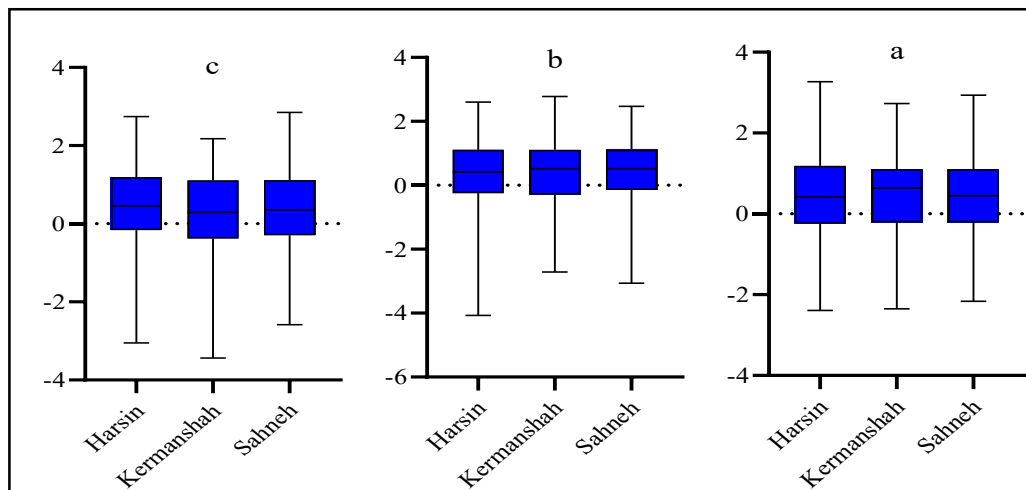
Fig 3. Monthly SPI drought index values in the period of 1981-2000 in Kermanshah Province, Iran



شکل ۴- مقادیر شاخص خشک‌سالی SPI ماهانه در دوره ۱۳۸۰-۱۳۹۹ در استان کرمانشاه

Fig 4. Monthly SPI drought index values in the period of 2001-2021 in Kermanshah Province, Iran





شکل ۵- توزیع شاخص خشک‌سالی SPI ماهانه طی ۱۳۴۰ تا ۱۳۹۹ ایستگاه‌های مختلف در استان کرمانشاه برای دوره‌های (a) ۱۳۵۹-۱۳۴۰، (b) ۱۳۷۹-۱۳۶۰ و (c) ۱۳۹۹-۱۳۸۰

Fig 5. Distribution of monthly SPI drought index during 1961 and 2021 in different stations in Kermanshah Province, Iran in various periods of 1961-1980 (a), 1981-2000 (b), 2001-2021 (c)

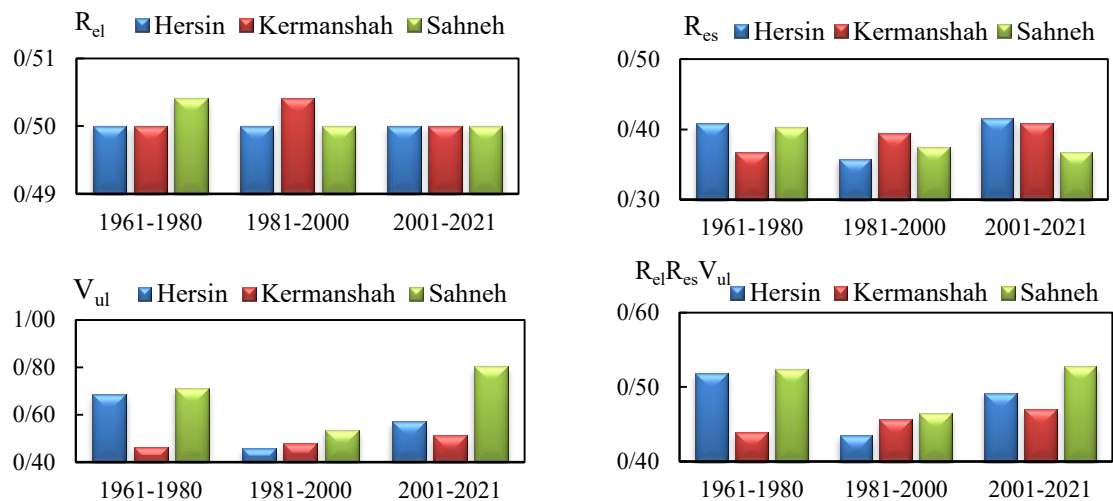
است. شاخص تاب‌آوری نشان می‌دهد هر چه بر طول دوره آماری افزوده شود، میزان این شاخص کم‌تر و در ایستگاه‌های مختلف به هم نزدیک‌تر می‌شود. در ابتدای دوره و در سال‌های ۱۳۹۹-۱۳۹۰ و ۱۳۹۰-۱۳۸۰ مقدار این شاخص بین ۰/۴۵-۰/۳۸- متغیر است. اما با افزایش طول دوره آماری (۱۳۹۹-۱۳۴۰) این شاخص در ایستگاه‌های مختلف ۰/۳۹ تعیین و ثابت شده است. شاخص آسیب‌پذیری حاکی از آن است که با کاهش طول دوره آماری، میزان این شاخص تغییرات بیشتری در ایستگاه‌های مختلف را نشان می‌دهد، به طوری که در دوره ۱۳۹۹-۱۳۹۰ و ۱۳۹۹-۱۳۸۰ این شاخص بین ۰/۹-۰/۴ تغییر کرده اما با افزایش طول دوره آماری تغییرات آن کم‌تر و در ایستگاه‌های مختلف در کل دوره آماری بین ۰/۵۵-۰/۴۳ متغیر بوده است. سلامت در ایستگاه‌های مختلف بیان‌کننده آن است که همانند شاخص تاب‌آوری و آسیب‌پذیری، با افزایش طول دوره آماری، میزان تغییرات سلامت کم‌تر شده و ایستگاه‌ها مقدار نزدیک به هم را نشان می‌دهند به طوری که در دوره‌های ۱۳۹۹-۱۳۹۰ و ۱۳۹۹-۱۳۸۰ مقدار شاخص متوسط سلامت بین ۰/۵۶-۰/۴۵ نوسان داشته است، اما با افزایش طول دوره آماری این شاخص کاهش یافته و در کل دوره (۱۳۹۹-۱۳۴۰) در ایستگاه‌های مختلف بین ۰/۴۸-۰/۴۵ قرار گرفته است. جدول ۲ نیز درصد تغییرات شاخص‌های سلامت در طول دوره‌های زمانی مختلف را نسبت به کل دوره (۱۳۹۹-۱۳۴۰) نشان می‌دهد.

#### تأثیر طول دوره آماری بر شاخص‌های سلامت تأثیر دوره‌های زمانی متفاوت

شکل ۶ شاخص‌های پایایی، تاب‌آوری، آسیب‌پذیری و متوسط سلامت آبخیز در دوره‌های زمانی ۱۳۵۹-۱۳۴۰، ۱۳۷۹-۱۳۶۰ و ۱۳۹۹-۱۳۸۰ را نشان می‌دهد. شاخص پایایی در دوره زمانی ۱۳۸۸-۱۳۹۹ در هر سه ایستگاه مقدار ثابت ۰/۵ را داراست اما در دوره ۱۳۷۹-۱۳۶۰ ایستگاه کرمانشاه و در دوره ۱۳۵۹-۱۳۴۰ ایستگاه هرسین مقدار بیش‌تری را به خود اختصاص داده است. توزیع شاخص تاب‌آوری در ایستگاه‌ها و در دوره‌های زمانی مختلف، یکسان نبوده و با تغییر دوره زمانی مقدار شاخص در هر ایستگاه تغییر داشته است. شاخص‌های آسیب‌پذیری و سلامت نیز در دوره‌های زمانی مختلف دارای تغییرات بوده و در هر دوره مقادیر متفاوتی را به خود اختصاص داده‌اند.

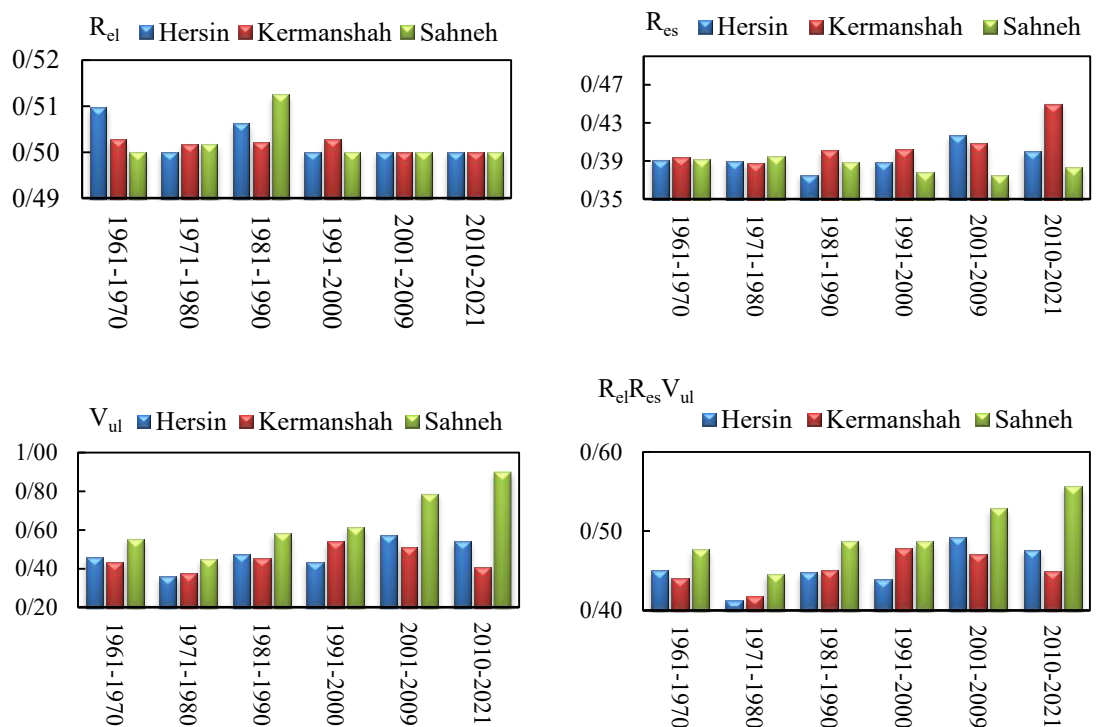
#### تأثیر طول دوره آماری

شکل ۷ مقادیر شاخص‌های پایایی، تاب‌آوری و آسیب‌پذیری در دوره‌های زمانی کوتاه‌مدت تا بلندمدت در ایستگاه‌های صحنه، کرمانشاه و هرسین را نشان می‌دهد. بر این اساس، شاخص پایایی در طول دوره آماری ۱۳۹۹-۱۳۹۰، ۱۳۹۹-۱۳۸۰ و ۱۳۹۹-۱۳۷۰ مقادیر تقریباً ثابت بین ۰/۵۰-۰/۵۰ را داشته است. اما با افزایش طول دوره آماری مقدار این شاخص تغییر کرده و در ایستگاه‌های مختلف مشابه نبوده و مقادیر بیش‌تری (۰/۵۱-۰/۵۰) را به خود اختصاص داده



شکل ۶- شاخص‌های سلامت آبخیز در دوره‌های مختلف در ایستگاه‌های صحنه، کرمانشاه و هرسین در استان کرمانشاه

Fig 6. The watershed health indicators in different periods in Sahneh, Kermanshah and Harsin stations in Kermanshah Province, Iran



شکل ۷- شاخص‌های سلامت آبخیز در طول دوره‌های مختلف در ایستگاه‌های صحنه، کرمانشاه و هرسین در استان کرمانشاه

Fig 7. The watershed health indicators in different time series lengths in Sahneh, Kermanshah and Harsin stations in Kermanshah Province, Iran

جدول ۲- درصد تغییرات شاخص‌های پایایی ( $R_{el}$ )، تاب‌آوری ( $R_{es}$ )، آسیب‌پذیری ( $V_{ul}$ ) و متوسط سلامت ( $R_{el}R_{es}V_{ul}$ ) در دوره‌های مختلف نسبت به کل دوره در استان کرمانشاه

Table 2. The percentage of changes in reliability ( $R_{el}$ ), resilience ( $R_{es}$ ), vulnerability ( $V_{ul}$ ) and average health ( $R_{el}R_{es}V_{ul}$ ) indicators in different periods compared to the whole period in Kermanshah Province, Iran

سال	شاخص	صحنه	کرمانشاه	هرسین	سال	شاخص	صحنه	کرمانشاه	هرسین
Year	Index	Sahneh	Kermanshah	Harsin	Year	Index	Sahneh	Kermanshah	Harsin
2010-2021	$R_{el}$	0	-0.55	-1.91	2010-2021	$R_{es}$	-2.13	14.26	2.32
2000-2021		0	-0.55	-1.91	2000-2021		-4.26	3.68	6.58
1990-2021		0	0	-1.91	1990-2021		-3.55	2.13	-0.52
1980-2021		2.5	-0.14	-0.68	1980-2021		-0.71	1.99	-3.94
1970-2021		0.33	-0.22	-1.91	1970-2021		0.76	-1.5	-0.24
2010-2021	$V_{ul}$	62.75	-6.72	17.89	2010-2021	$R_{el}R_{es}V_{ul}$	16.19	1.96	5.77
2000-2021		42.09	17.88	24.54	2000-2021		10.80	6.72	9.20
1990-2021		10.63	24.89	-5.13	1990-2021		2.19	8.45	-2.54
1980-2021		5.09	4.94	3.24	1980-2021		2.26	2.24	-0.51
1970-2021		-18.96	-13.15	-21.47	1970-2021		-6.43	-5.14	-8.40

## بحث و نتیجه‌گیری

وجود تنوع بالای اقلیمی در ایران، می‌تواند میزان و روند تغییرات هیدرولوژیک را دست‌خوش تغییرات کند و منجر به رخ داده باران‌های شدید، طوفان، حتی خشک‌سالی و افزایش دما شود [۳۰]. در همین راستا، نتایج پژوهش حاضر در شکل‌های ۲ تا ۵ نشان می‌دهد که ایستگاه‌های منتخب در طول دوره آماری دارای ترسالی و خشک‌سالی‌های متناوب بوده‌اند و خشک‌سالی با طبقه‌های متعددی رخ داده است. این امر نشان می‌دهد که در آینده نیز احتمال بروز خشک‌سالی با طبقات متعدد در ایران امکان‌پذیر است. در همین راستا جمشیدی [۱۴] بیان داشت ایران طی ۴۰ سال آینده خشک‌سالی‌های بلندمدت را تجربه خواهد کرد که بیان‌کننده پتانسیل مناطق مختلف ایران برای رخداد خشک‌سالی‌های بلندمدت است. تغییر در بارش دریافتی و بروز پدیده خشک‌سالی در مناطق مختلف، سبب شده که آبخیزهای مختلف قدرت کافی در برابر فشارهای وارده و تاب‌آوری مناسب برای جلوگیری از آسیب‌های مختلف را نداشته باشند و باعث تغییر در خدمات دریافتی از سوی آبخیزها توسط ذی‌نفعان گردند [۲]. با همین تعاریف، طول دوره آماری نقش مهم و بسزایی در شناسایی خشک‌سالی و اثرات آن بر آبخیزها دارد [۲۱]. به‌طوری‌که بر اساس شکل‌های ۲ تا ۵ در دوره‌های زمانی مختلف، خشک‌سالی در درجات مختلف رخ داده است و به‌تبع آن میزان شاخص‌های پایایی، تاب‌آوری، آسیب‌پذیری و سلامت آبخیز نیز در دوره‌های زمانی مختلف مقدار متفاوتی را نشان داده است. نتایج پژوهش در شکل‌های ۶ و ۷ نشان داد هر چه بر طول دوره آماری افزوده شود مقادیر شاخص‌های سلامت کاهش یافته و از دامنه

تغییرات آن‌ها کاسته و به همدیگر نزدیک‌تر می‌شوند. اما سال‌های ابتدایی دوره آماری تغییرات و توزیع بیش‌تری در شاخص‌ها را نشان داد. نتایج نشان می‌دهد تغییرات کاهش/افزایشی شاخص‌های سلامت در ۳۰ سال ابتدایی دوره آماری (۱۳۹۹-۱۳۷۰) نسبت به تغییرات کاهش/افزایشی شاخص‌های سلامت در ۳۰ سال انتهایی دوره (۱۳۶۹-۱۳۴۰) بیش‌تر است و میزان تغییرات را بهتر نمایش می‌دهد. در همین راستا پورحسینی و سلطانی [۲۲] با ارزیابی تأثیر طول دوره آماری بر خشک‌سالی در ایران نیز بیان داشتند برای ارزیابی خشک‌سالی هر چه طول دوره آماری بیش‌تر باشد میزان حضور دوره‌های ترسالی و خشک‌سالی در دوره ارزیابی بیش‌تر شده و نتایج قابل‌قبول‌تری خواهد داشت اما ارزیابی هم‌بستگی بین سال‌های ابتدایی دوره‌های آماری و سال‌های انتهایی دوره آماری نشان داد که هم‌بستگی سال‌های ابتدایی دوره آماری با کل دوره آماری (۴۶ سال) بیش‌تر بوده است و نتایج بهتری را در شناسایی و ارزیابی خطر خشک‌سالی داشته‌اند. لذا در این پژوهش دوره ۳۱ ساله مناسب برای ارزیابی خشک‌سالی انتخاب شده است و نتایج این پژوهش را تأیید می‌کند. در پژوهشی دیگر صادقی و همکاران [۲۷] با ارزیابی تأثیر طول دوره آماری و تعداد ایستگاه‌های مورد استفاده بر شاخص فرساینده‌گی باران بیان داشتند هر چه تعداد ایستگاه‌های مورد استفاده بیش‌تر باشد نتایج مناسب‌تر و قابل‌قبول‌تری را ارائه خواهد کرد. از طرفی افزایش طول دوره آماری نیز می‌تواند بر بهبود نتایج تأثیر مطلوبی داشته باشد و نتایج این پژوهش را تأیید می‌کند. حوزه‌های آبخیز و خدمات ارائه‌شده از سوی آن‌ها تحت تأثیر عوامل مختلف از جمله تغییرات زمانی قرار می‌گیرد. بر همین اساس



8. Hazbavi, Z. 2018. Importance of geology and geomorphology in watershed health assessment. *Agriculture & Forestry*, 64(4): 277-287.

9. Hazbavi, Z. Baartman, J.E.M. Nunes, J.P. Keesstra, S.D. and Sadeghi, S.H.R. 2018a. Changeability of reliability, resilience and vulnerability indicators with respect to drought patterns. *Ecological Indicators*, 87: 196-208.

10. Hazbavi, Z. Keesstra, S.D. Nunes, J.P. Baartman, J.E.M. Gholamalifard, M. and Sadeghi, S.H.R. 2018b. Health comparative comprehensive assessment of watersheds with different climates. *Ecological Indicators*, 93: 781-790.

11. Hazbavi, Z. Parchami, N. Alaei, N. and Babaei, L. 2020. Assessment and analysis of the Koozeh Topraghi Watershed health status, Ardabil Province, Iran. *Soil and Water Resources Conservation*, 9(3): 121-141. (In Persian)

12. Hazbavi, Z. Sadeghi, S.H.R. and Gholamalifard, M. 2019. Dynamic analysis of soil erosion-based watershed health. *Geography, Environment, Sustainability*, 12(3): 43-59.

13. Jahangir, M.H. Noor Azar, L. and Azimi, S.M.E. 2019. Analysis of the head of drought branches SPTI, SPI, SPEI using SOFM roots compared network in the Chahar Mahal Bakhtiari Province. *Eco Hydrology*, 6: 837-847. (In Persian)

14. Jamshidi, R. 2016. Continuity of a decade of drought in stone and water Land, Hamshahri Newspaper, 17 May 2016.

15. Jat, M.K. Khare, D. Garg, P.K. and Shankard, A. 2008. Remote sensing and GIS-based assessment of urbanization and degradation of watershed health: A Case Study. *Urban Water Journal*, 6(3): 251-263.

16. Kalehhouei, M. Kaviani, A. Shahedi, K. and Soltani, M. 2018. Droughts zoning Caspian Plain with using SPI and CZI Indices. *Extension and Development of Watershed Management*, 6(20): 45-54. (In Persian)

17. Lee, J. Chung, J. Woo, S. Lee, Y. Jung, C. Park, D. and Kim, S. 2021. Evaluation of land-use changes impact on watershed health using probabilistic approaches. *Water*, 13(17): 2348.

18. Madanchi, P. Shahdi, K.M. Habibnejad, K. and Fatehi Marj, A. 2019. Zoning climatic drought and drought magnitude using SPI Index and Kirijing geostatistical method, case study: Kerman Province. *Irrigation and Water Engineering of Iran*, 10: 203-226. (In Persian)

19. Mao, X. Wang, X. Chen, Q. and Yin, X. 2014. A PSR-framework-based health assessment of Ulansuhai Lake in china. *Polish Journal of Environmental Studies*, 23(6): 2093-2012.

20. Mckee, T.B. Doesken, N.J. and Kleist, J. 1993. The

در این پژوهش سعی شده است که میزان تأثیر طول دوره آماری بر سلامت آبخیزها و مبتنی بر شاخص خشک‌سالی SPI در دوره زمانی ۱۳۴۰-۱۳۹۹ در سه ایستگاه صحنه، کرمانشاه و هرسین در استان کرمانشاه با استفاده از شاخص خشک‌سالی SPI یک‌ماهه مورد ارزیابی قرار گیرد. نتایج پژوهش نشان داد شاخص‌های پایایی  $(R_{ei})$ ، تاب‌آوری  $(R_{es})$ ، آسیب‌پذیری  $(V_{ui})$  و متوسط سلامت آبخیز  $(R_{ei}R_{es}V_{ui})$  در ایستگاه‌های مذکور در سال‌های ابتدایی دوره آماری تغییرات بیشتری را نسبت به سال‌های انتهایی و کل دوره داشته است. علاوه بر آن با افزایش طول دوره آماری میزان تغییرات این شاخص‌ها کاهش می‌یابد. نتایج حاکی از آن است که ۳۰ سال ابتدایی دوره مورد مطالعه (۱۳۷۰-۱۳۹۹) نتایج مناسب و قابل قبولی را ارائه می‌دهد و با افزایش طول دوره آماری با توجه به افزایش حجم عملیات محاسباتی، شاخص‌ها تغییرات چندانی نخواهند داشت. هم‌چنین پراکنش ایستگاه‌ها در اقلیم‌های مختلف می‌تواند نتایج متفاوتی داشته باشد که پیشنهاد می‌گردد که در مطالعات بعدی تعداد بیشتری از ایستگاه‌ها مدنظر قرار بگیرد تا توزیع مکانی بارندگی در سطح وسیع‌تر انجام شود.

## منابع

1. Ahn, S.R. and Kim, S.L. 2017. Assessment of integrated watershed health based on the natural environment, hydrology, water quality, and aquatic ecology. *Hydrology and Earth System Sciences*, 21: 5583-5602.

2. Chamani, R. Sadeghi, S.H.R. Vafakhah, M. and Naghdi, M. 2022. Reliability, resilience, and vulnerability of Chalous Watershed based on drought index. *Watershed Engineering and Management*, 14(1): 65-75. (In Persian)

3. Dai, Q. Liu, G. Xue, Sh. Lan, X. Zhai, Sh. Tian, J. and Wang, G. 2007. Health diagnoses of ecosystems subject to a typical erosion environment in Zhifanggou Watershed, North-West China. *Front of Forestry China*, 2(3): 241-250.

4. Duan, T. Feng, J. Chang, X. and Li, Y. 2022. Watershed health assessment using the coupled integrated multistatistic analyses and PSIR framework. *Science of The Total Environment*, 847, 157523.

5. EPA, Environment Protection Agency. 2012. Identifying and protecting healthy watersheds, EPA 841-B 11-002

6. Ervinia, A. Huang, J. Huang, Y. and Lin, J. 2019. Coupled effects of climate variability and land use pattern on surface water quality: An elasticity perspective and watershed health indicators. *Science of the Total Environment*, 693, 133592.

7. Hashimoto, T. Loucks, D.P. and Stedinger, J. 1982. Reliability, resilience and vulnerability for water resources system performance evaluation. *Water Resources Research*, 18: 14-20

30. Tabari, H. Agha Kouchak, A. and Willems, P. 2014. A perturbation approach for assessing trends in precipitation extremes across Iran. *Journal of Hydrology*, 519: 1420-1427.
31. Tirivarombo, S. Osupile, D. and Eliasson, P. 2018. Drought monitoring and analysis: Standardized Precipitation Evapotranspiration Index [SPEI] and Standardized Precipitation Index [SPI]. *Physics and Chemistry of the Earth*, 106: 1-10.
32. Wiegand, A.N. Walker, C. Duncan, P.F. Roiko, A. and Tindale, N. 2013. A systematic approach for modelling quantitative lake ecosystem data to facilitate proactive urban lake management. *Environmental Systems Research*, 2: 1-12.
33. Won, J. Choi, J. Lee, O. and Kim, S. 2020. Copula-based joint drought index using SPI and EDDI and its application to climate change. *Science of the Total Environment*, 744: 140701.
34. Yerdelen, C. Abdelkader, M. and Eris, E. 2021. Assessment of drought in SPI series using continuous wavelet analysis for Gediz Basin, Turkey. *Atmospheric Research*, 260, 105687.
35. You, Q. Fang, N. Jian, M. Hu, Q. Yao, B. Liu, D. and Yang, W. 2022. A reliability-resilience-vulnerability framework for measuring the influence of changes in water level fluctuations on lake conditions. *Ecological Indicators*, 134, 108468.
36. Zhang, F. Zhang, J. Wu, R. Ma, Q. and Yang, J. 2015. Ecosystem health assessment based on DPSIRM framework and health distance model in Nansi Lake, China. *Stochastic Environmental Research and Risk Assessment*, 30: 1235-1247.
37. Zhang, Sh. Xiang, M. Xu, Z. Wang, L. and Zhang, Ch. 2020. Evaluation of water cycle health status based on a cloud model. *Journal of Cleaner Production*, 245: 118850.
38. Zohrevandi, A.A. and Sagheb Talebi, K. 2021. Distribution pattern of Wild pear (*Pyrus spp.*) in the forests of Kermanshah Province of Iran. *Applied Biology*, 33(4): 165-178.
39. Zolfaghari, H. Sahrai, J. Sahaghobadi, F. and Jalilian, A. 2014. Analysis on synoptic and dynamic aspects of air pollution in Kermanshah City. *Journal of Geography and Environmental Hazards*, 3(1): 75-96. (In Persian)
- relationship of drought frequency and duration to time scales. *Proceedings of the 8th Conference on Applied Climatology*, 17(22): 179-183.
21. Naderi, K. Moghadasi, M. Shokri, A. and Ahmadi, F. 2021. Analysis of the effect of statistical period length on occurrence probability of drought using the copula functions approach (Case study: Arak Synoptic Station). *Iran Water and Soil Research*, 52(9): 2427-2440. (In Persian)
22. Pourhossein, S. and Soltani, S. 2018. The effect of climate, precipitation regime and data record length on the Bhalme & Mooley Drought Index in Iran. *Soil Science (Science and Technology of Agriculture and Natural Resources)*, 22(2): 159-173. (In Persian)
23. Rani, G. Kaur, J. Kumar, A. and Yogalakshmi, K.N. 2019. Ecosystem health and dynamics: An indicator of global climate change. *Contemporary Environmental Issues and Challenges in Era of Climate Change*, Springer, Singapore, 1-23.
24. Sadeghi, S.H.R. and Hazbavi, Z. 2016. Watershed health (part 1) conceptual model of reliability, flexibility and vulnerability. *Extension and Development of Watershed Management*, 14: 39-43. (In Persian)
25. Sadeghi, S.H.R. and Hazbavi, Z. 2017. Spatiotemporal variation of watershed health propensity through reliability-resilience-vulnerability based drought index, case study: Shazand Watershed in Iran. *Science of the Total Environment*, 587: 168-176.
26. Sadeghi, S.H.R. Hazbavi, Z. and Gholamalifard, M. 2019. Interactive impacts of climatic, hydrologic, and anthropogenic activities on watershed health. *Science of the Total Environment*, 648: 880-893.
27. Sadeghi, S.H.R. Zabihi, M. and Vafakhah, M. 2016. Effect of data length, study span and number of stations on amount of rainfall erosivity factor variability in different time scales in Iran. *Pasture and Watershed, Journal of Natural Resources of Iran*, 70(2): 400-409. (In Persian)
28. Shahbazi, Kh. Khosroshahi, M. Heshmati, M. and Saieedifar, Z. 2022. Effects of climate change on dust storm occurrence in Kermanshah Province, Iran. *ECOPERSIA*, 10(2): 121-131.
29. Smakhtin, V.U. and Hughes, D.A. 2004. Review, automated estimation and analyses of drought indices in South Asia. *International Water Management Institute*, 3: 1-24.

## Effectability of SPI-based Watershed Health Index from Data Length

S.H.R. Sadeghi<sup>1</sup>, M. Kalehhouei<sup>2</sup>, R. Chamani<sup>3</sup> and Kh. Haji<sup>4</sup>

Received: 28-08-2022 Accepted: 10-01-2023

### Abstract

Watershed health provides an integrated view of the factors influencing the watershed conditions. In the current study, the data length effect on changes in SPI-based watershed health index was evaluated using the  $R_{el}R_{es}V_{ul}$  framework for the period of 1961-2021 in Sahneh, Kermanshah, and Harsin stations in Kermanshah Province, Iran. For this purpose, reliability ( $R_{el}$ ), resilience ( $R_{es}$ ), vulnerability ( $V_{ul}$ ) indicators, and mean watershed health ( $R_{el}R_{es}V_{ul}$ ) were calculated in different periods. According to the results, watershed health indicators were different in 1961-1980, 1981-2000, and 2001-2021. In addition, with the increase in the length of the statistical period, health indicators had different changes, so that in short-term data, the changes of the indicators mentioned above were more than the whole period. The maximum changes in the first 30 years of the statistical period, and with the increase in the length of the statistical period until the end of the period, changes decreased. Accordingly, the last 30 years of the statistical period have reliable results in calculating health indicators. Considering massive calculations, climatic data deficits, and limited stations while increasing the length of the statistical period, it is suggested to use the climatic data of the last 30 years to estimate watershed health.

**Keywords:** *Drought, Temporal analysis, Watershed health assessment, Watershed management.*

1. Corresponding Author and Professor Department of Watershed Management Engineerin, Faculty of Natural Resources, Tarbiat Modares University, Email: sadeghi@modares.ac.ir
2. Former Ph.D. Student, Department of Watershed Management Engineering Faculty of Natural Resources, Tarbiat Modares University.
3. Ph.D. Student, Department of Watershed Management Engineering Faculty of Natural Resources, Tarbiat Modares University.
4. Ph.D. Student, Department of Watershed Management Engineering Faculty of Natural Resources, Tarbiat Modares University.